Académie d'Orléans – Tours Université François-Rabelais

FACULTE DE MEDECINE DE TOURS

Année 2012 N°

Thèse

pour le

DOCTORAT EN MEDECINE

Diplôme d'Etat

Par

BAZIN Yvan Né le 20 Avril 1980 à Vire

Présentée et soutenue publiquement le 30 octobre 2012

<u>Intérêt d'une perfusion d'émulsion lipidique</u> lors d'une intoxication aiguë à la digoxine chez le rat.

Jury

Président de Jury : Monsieur le Professeur Jacques FUSCIARDI Membres du jury : Monsieur le Professeur Pierre-François DEQUIN

Monsieur le Professeur Marc LAFFON

Madame le Docteur Martine FERRANDIERE Monsieur le Docteur Damien BRESSON



UNIVERSITE FRANCOIS RABELAIS FACULTE DE MEDECINE DE TOURS

DOYEN

Professeur Dominique PERROTIN

VICE-DOYEN

Professeur Daniel ALISON

ASSESSEURS

Professeur Christian ANDRES, Recherche Docteur Brigitte ARBEILLE, Moyens Professeur Christian BINET, Formation Médicale Continue Professeur Laurent BRUNEREAU, Pédagogie Professeur Patrice DIOT, Recherche clinique

SECRETAIRE GENERALE

Madame Fanny BOBLETER

DOYENS HONORAIRES

Professeur Emile ARON (†) – 1962-1966 Directeur de l'Ecole de Médecine - 1947-1962 Professeur Georges DESBUQUOIS (†)- 1966-1972 Professeur André GOUAZÉ - 1972-1994 Professeur Jean-Claude ROLLAND – 1994-2004

PROFESSEURS EMERITES

Professeur Alain AUTRET
Professeur Jean-Claude BESNARD
Professeur Patrick CHOUTET
Professeur Guy GINIES
Professeur Olivier LE FLOCH
Professeur Chantal MAURAGE
Professeur Léandre POURCELOT
Professeur Michel ROBERT
Professeur Jean-Claude ROLLAND

PROFESSEURS HONORAIRES

MM. Ph. ANTHONIOZ - A. AUDURIER - Ph. BAGROS - G. BALLON - P.BARDOS - J. BARSOTTI - A. BENATRE - Ch. BERGER - J. BRIZON - Mme M. BROCHIER - Ph. BURDIN - L. CASTELLANI - J.P. FAUCHIER - B. GRENIER - M. JAN - P. JOBARD - J.-P. LAMAGNERE - F. LAMISSE - J. LANSAC - J. LAUGIER - G. LELORD - G. LEROY - Y. LHUINTRE - M. MAILLET - MIle C. MERCIER - E/H. METMAN - J. MOLINE - Cl. MORAINE - H. MOURAY - J.P. MUH - J. MURAT - Mme T. PLANIOL - Ph. RAYNAUD - Ch. ROSSAZZA - Ph. ROULEAU - A. SAINDELLE - J.J. SANTINI - D. SAUVAGE - M.J. THARANNE - J. THOUVENOT - B. TOUMIEUX - J. WEILL.

PROFESSEURS DES UNIVERSITES - PRATICIENS HOSPITALIERS

MM. ALISON Daniel Radiologie et Imagerie médicale
ANDRES Christian Biochimie et Biologie moléculaire

ARBEILLE Philippe
AUPART Michel
Biochimie et Blotogie infoecutaire
Biochimie et Blotogie infoecutaire
Biochimie et Blotogie infoecutaire
Chirurgie thoracique et cardiovasculaire

Mme AUTRET-LECA Elisabeth Pharmacologie fondamentale; Pharmacologie clinique

MM. BABUTY Dominique Cardiologie

Mmes BARILLOT Isabelle Cancérologie ; Radiothérapie

BARTHELEMY Catherine Physiologie

MM. BAULIEU Jean-Louis Biophysique et Médecine nucléaire

BERNARD Louis Maladies infectieuses; maladies tropicales

BEUTTER Patrice Oto-Rhino-Laryngologie
BINET Christian Hématologie ; Transfusion
BODY Gilles Gynécologie et Obstétrique

BONNARD Christian Chirurgie infantile
BONNET Pierre Physiologie
DONNET DRIVITATION CHIRALITY CARCON CONTROLLER CONTROLLER

Mme BONNET-BRILHAULT Frédérique Physiologie

MM. BOUGNOUX Philippe Cancérologie ; Radiothérapie BRUNEREAU Laurent Radiologie et Imagerie médicale

BUCHLER Matthias Néphrologie

CALAIS Gilles Cancérologie ; Radiothérapie
CAMUS Vincent Psychiatrie d'adultes
CHANDENIER Jacques Parasitologie et Mycologie

CHANTEPIE Alain Pédiatrie
CHARBONNIER Bernard Cardiologie

COLOMBAT Philippe Hématologie; Transfusion

CONSTANS Thierry Médecine interne ; Gériatrie et Biologie du vieillissement

CORCIA Philippe Neurologie COSNAY Pierre Cardiologie

COTTIER Jean-Philippe Radiologie et Imagerie médicale

COUET Charles Nutrition

DANQUECHIN DORVAL Etienne Gastroentérologie ; Hépatologie

DE LA LANDE DE CALAN Loïc Chirurgie digestive DE TOFFOL Bertrand Neurologie

DEQUIN Pierre-François Thérapeutique ; médecine d'urgence

DESTRIEUX Christophe Anatomie
DIOT Patrice Pneumologie

DU BOUEXIC de PINIEUX Gonzague Anatomie & Cytologie pathologiques
DUMONT Pascal Chirurgie thoracique et cardiovasculaire

FAUCHIER Laurent Cardiologie

FAVARD Luc Chirurgie orthopédique et traumatologique FETISSOF Franck Anatomie et Cytologie pathologiques FOUQUET Bernard Médecine physique et de Réadaptation

FRANCOIS Patrick Neurochirurgie

FUSCIARDI Jacques Anesthésiologie et Réanimation chirurgicale ; médecine

d'urgence

GAILLARD Philippe Psychiatrie d'Adultes

GOGA Dominique Chirurgie maxillo-faciale et Stomatologie GOUDEAU Alain Bactériologie - Virologie ; Hygiène hospitalière

GOUPILLE Philippe Rhumatologie

GRUEL Yves Hématologie; Transfusion

GUILMOT Jean-Louis Chirurgie vasculaire ; Médecine vasculaire GUYETANT Serge Anatomie et Cytologie pathologiques

HAILLOT Olivier Urologie

HALIMI Jean-Michel Thérapeutique ; médecine d'urgence (Néphrologie et

Immunologie clinique)

HERAULT Olivier Hématologie ; transfusion HERBRETEAU Denis Radiologie et Imagerie médicale

Mme HOMMET Caroline Médecine interne, Gériatrie et Biologie du vieillissement

MM. HUTEN Noël Chirurgie générale

LABARTHE François Pédiatrie

LAFFON Marc Anesthésiologie et Réanimation chirurgicale ; médecine

d'urgence

LANSON Yves Urologie

LARDY Hubert Chirurgie infantile

LASFARGUES Gérard Médecine et Santé au Travail

LEBRANCHU Yvon Immunologie

LECOMTE Pierre Endocrinologie et Maladies métaboliques LECOMTE Thierry Gastroentérologie ; hépatologie ; addictologie

LEMARIE Etienne Pneumologie

LESCANNE Emmanuel
LINASSIER Claude
Cancérologie ; Radiothérapie
LORETTE Gérard
Dermato-Vénéréologie
MACHET Laurent
Dermato-Vénéréologie
MAILLOT François
Médecine Interne

MARCHAND Michel Chirurgie thoracique et cardiovasculaire

MARRET Henri Gynécologie et Obstétrique

MULLEMAN Denis Rhumatologie NIVET Hubert Néphrologie

PAGES Jean-Christophe Biochimie et biologie moléculaire

PAINTAUD Gilles Pharmacologie fondamentale, Pharmacologie clinique

PATAT Frédéric Biophysique et Médecine nucléaire

PERROTIN Dominique Réanimation médicale ; médecine d'urgence

PERROTIN Franck Gynécologie et Obstétrique

PISELLA Pierre-Jean Ophtalmologie

QUENTIN Roland Bactériologie-Virologie ; Hygiène hospitalière

RICHARD-LENOBLE Dominique
ROBIER Alain
ROINGEARD Philippe
Parasitologie et Mycologie
Oto-Rhino-Laryngologie
Biologie cellulaire

ROSSET Philippe Chirurgie orthopédique et traumatologique ROYERE Dominique Biologie et Médecine du développement et de la

Reproduction

RUSCH Emmanuel Epidémiologie, Economie de la Santé et Prévention

SALAME Ephrem Chirurgie digestive

SALIBA Elie Biologie et Médecine du développement et de la

Reproduction

Mme SANTIAGO-RIBEIRO Maria Biophysique et Médecine Nucléaire

SIRINELLI Dominique Radiologie et Imagerie médicale

THOMAS-CASTELNAU Pierre Pédiatrie
TOUTAIN Annick Génétique

VAILLANT Loïc Dermato-Vénéréologie

VELUT Stéphane Anatomie WATIER Hervé Immunologie.

PROFESSEUR DES UNIVERSITES DE MEDECINE GENERALE

Mme LEHR-DRYLEWICZ Anne-Marie Médecine Générale

PROFESSEURS ASSOCIES

MM. HUAS Dominique Médecine Générale

LEBEAU Jean-Pierre Médecine Générale
MALLET Donatien Soins palliatifs
POTIER Alain Médecine Générale

<u>MAITRES DE CONFERENCES DES UNIVERSITES - PRATICIENS</u> HOSPITALIERS

MmeARBEILLE BrigitteBiologie cellulaireM.BARON ChristopheImmunologie

MmeBAULIEU FrançoiseBiophysique et Médecine nucléaireM.BERTRAND PhilippeBiostatistiques, Informatique médicale et

Technologies de Communication

MmeBLANCHARD-LAUMONIER EmmanuelleBiologie cellulaireMBOISSINOT EricPhysiologie

MM. BRILHAULT Jean Chirurgie orthopédique et traumatologique

CORTESE Samuele Pédopsychiatrie

Mmes DUFOUR Diane Biophysique et Médecine nucléaire EDER Véronique Biophysique et Médecine nucléaire

FOUQUET-BERGEMER Anne-Marie
Anatomie et Cytologie pathologiques

GAUDY-GRAFFIN Catherine Bactériologie - Virologie ; Hygiène hospitalière GIRAUDEAU Bruno Biostatistiques, Informatique médicale et

Technologies de Communication

Mme GOUILLEUX Valérie Immunologie

MM. GUERIF Fabrice Biologie et Médecine du développement et de la

reproduction

GYAN Emmanuel Hématologie, transfusion

M. HOARAU Cyrille ImmunologieM. HOURIOUX Christophe Biologie cellulaire

Mme LARTIGUE Marie-Frédérique Bactériologie-Virologie ; Hygiène hospitalière

Mmes LE GUELLEC Chantal Pharmacologie fondamentale ; Pharmacologie clinique

MACHET Marie-Christine Anatomie et Cytologie pathologiques

MM. MARCHAND-ADAM Sylvain Pneumologie

MEREGHETTI Laurent Bactériologie-Virologie ; Hygiène hospitalière

M.M PIVER Eric Biochimie et biologie moléculaire
 Mme SAINT-MARTIN Pauline Médecine légale et Droit de la santé
 M. VOURC'H Patrick Biochimie et Biologie moléculaire

MAITRES DE CONFERENCES

M.

MM.

Mlle BOIRON Michèle Sciences du Médicament ESNARD Annick Biologie cellulaire
M. LEMOINE Maël Philosophie

Mlle MONJAUZE Cécile Sciences du langage - Orthophonie

M. PATIENT Romuald Biologie cellulaire

MAITRE DE CONFERENCES ASSOCIE

M. ROBERT Jean Médecine Générale

CHERCHEURS C.N.R.S. - INSERM

MM. BIGOT Yves Directeur de Recherche CNRS-UMR CNRS 6239
BOUAKAZ Ayache Chargé de Recherche INSERM-UMR CNRS-INSERM930
Mmes BRUNEAU Nicole Chargé de Recherche INSERM-UMR CNRS-INSERM930
CHALON Sylvie Directeur de Recherche INSERM-UMR CNRS-INSERM930

COURTY Yves Chargé de Recherche CNRS-U618

GAUDRAY Patrick Directeur de Recherche CNRS – UMR CNRS 6239
GOUILLEUX Fabrice Directeur de Recherche CNRS – UMR CNRS 6239

Mmes GOMOT Marie Chargée de Recherche INSERM-UMR CNRS-INSERM 930

HEUZE-VOURCH Nathalie Chargée de Recherche INSERM-U618

MM. LAUMONNIER Frédéric Chargé de Recherche INSERM-UMR CNRS-INSERM 930

LE PAPE Alain Directeur de Recherche CNRS-U618

Mmes MARTINEAU Joëlle Chargée de Recherche INSERM-UMR CNRS-INSERM 930 POULIN Ghislaine Chargée de Recherche CNRS-UMR CNRS-INSERM 930

CHARGES D'ENSEIGNEMENT

Pour l'Ecole d'Orthophonie Mme DELORE Claire Orthophoniste M GOUIN Jean-Marie Praticien Hospitalier M. MONDON Karl Praticien Hospitalier Mme PERRIER Danièle Orthophoniste

Pour l'Ecole d'Orthoptie

LALA Emmanuelle Praticien Hospitalier Mme MAJZOUB Samuel Praticien Hospitalier M.

Pour l'Ethique MédicaleMme BIRMELE Béatrice Praticien Hospitalier

REMERCIEMENTS

A Monsieur le Professeur Jacques FUSCIARDI pour avoir accepté de présider le jury de ma thèse, pour son exigence pédagogique tout au long de notre cursus.

A Monsieur le Professeur Pierre-François DEQUIN, pour avoir eu la gentillesse d'accepter de juger mon travail.

A Monsieur le Professeur Marc LAFFON, pour la confiance qu'il m'a accordée au cours de ce travail dont il est à l'origine, sa patience, sa disponibilité due à sa faculté de composer avec un espace temps dont je cherche encore les limites...

A Madame le Docteur Martine FERRANDIERE, pour m'avoir donné goût à la réanimation, pour ta curiosité, ton exigence, tes conseils, c'est un grand honneur de rejoindre ton équipe.

A Monsieur le Docteur Damien BRESSON, mon prédécesseur dans cette aventure, pour ton aide précieuse, ta complicité, ton exemplarité dans le travail.

A Monsieur le Docteur Francis REMERAND, pour ton aide et ta disponibilité dans la préparation de mon mémoire.

A Hélène, pour ton soutien au quotidien, ton enthousiasme déraisonnable dans nos projets passés et à venir.

A Juliette, mon rayon de soleil...

A mes parents, leur confiance, et leur soutien, merci.

A ma famille, sans qui je ne serai pas là aujourd'hui.

Aux Amis...

Les Tallevendais,

Les Virois,

Les Caennais.

Et aux Tourangeaux, aux soirées inoubliables et aux prochaines...

RESUME

INTRODUCTION: L'intoxication à la digoxine, dont l'index thérapeutique est faible, a

une mortalité élevée, un traitement spécifique par fragments d'anticorps existe mais il pose le

problème de la disponibilité et du coût. Les émulsions lipidiques intraveineuses (ELI) ont

prouvé leur efficacité lors d'intoxications à certains cardiotoxiques liposolubles

(anesthésiques locaux, molécules à effet stabilisant de membrane). Le but de cette étude est de

rechercher un effet des émulsions lipidiques intraveineuses dans un modèle d'intoxication

aiguë à la digoxine chez le rat.

MATERIELS ET METHODES: 15 rats, anesthésiés par pentobarbital et ventilés

mécaniquement, recevaient à partir de T0, 10 mg/kg/h de digoxine intraveineuse (IV) jusqu'à

asystolie. Ils étaient répartis en 2 groupes selon la modalité de prise en charge à T0 : le groupe

Digolip recevait une injection de 15 ml/kg d'Intralipide® 20 % IV sur 5 minutes, le groupe

Digophy recevait une injection de 15 ml/kg de NaCl 0,9 % IV sur 5 minutes. Le critère de

jugement principal était la durée de survie, les critères secondaires étaient les paramètres

hémodynamiques.

RESULTATS: La durée de survie n'était pas augmentée par l'administration d'Intralipide®

par rapport au groupe ayant reçu le même volume de NaCl 0,9 % avec des durées de survie

médianes de 18,0 min [11,3 - 21,8] (groupe Digolip) versus 18,8 min [18,1 - 28,3] (groupe

Digophy) (p = 0,291). Les doses létales médianes étaient de 3,00 mg/kg [1,88 - 3,63] dans le

groupe Digolip versus 3,14 mg/kg [3,05-4,72] dans le groupe DigoPhy (p = 0,297). Les

paramètres hémodynamiques n'étaient pas modifiés significativement entre les 2 groupes.

CONCLUSION : L'administration d'Intralipide ne peut être recommandée dans

l'intoxication aiguë à la digoxine.

MOTS CLES: Digoxine, dose létale, émulsion lipidique, rat

1

SUMMARY

INTRODUCTION: Digoxin intoxication, drug with a low therapeutic index, has a high

mortality. A specific treatment by antibody fragments exists but raises both the problem of

their availability and cost. In some lipophilic cardiotoxic poisonings (local anesthetic,

molecules to membrane-stabilizing effect), intravenous lipid emulsions efficacy has been

shown. The purpose of this study was to investigate the effect of intravenous lipid emulsion

(ILE) in a model of digoxin poisoning in rats.

MATERIALS AND METHODS: 15 rats anesthetized with pentobarbital and mechanically

ventilated received from T0 10 mg / kg / h intravenous (IV) digoxin until dead. They were

divided into 2 groups according to the modality of treatment at T0: Digolip group received an

injection of 15 ml / kg IV Intralipide® 20% over 5 minutes; Digophy group received an

injection of IV NaCl 15ml/kg 0.9% over 5 minutes. The primary endpoint was survival,

secondary endpoints were hemodynamic parameters.

RESULTS: Survival time was not increased by administration of Intralipide ® compared to

group that received the same volume of NaCl 0.9% with median survival times 18.0 min

[11.3 - 21.8] (Digolip group) versus 18.8 min [18.1 - 28.3] (DigoPhy group) (p = 0.291).

Median lethal doses were 3.00 mg / kg [1.88 - 3.63] in Digolip group versus 3.14 mg / kg

[3.05 - 4.72] in Digophy group (p = 0297). Hemodynamic parameters were not changed

significantly between the 2 groups.

CONCLUSION: The administration of Intralipid can not be recommended in acute

intoxication by digoxin.

KEYWORDS: Digoxin, lethal dose, fat emulsion, rat.

2

INTRODUCTION

Les anesthésiques locaux sont des molécules lipophiles neuro et cardiotoxiques. En 1998, l'équipe de Weinberg et al. a démontré chez le rat l'augmentation de la dose létale 50 % de la bupivacaïne par l'administration intraveineuse d'une émulsion lipidique ¹. Cette efficacité a été confirmée par d'autres études expérimentales ²⁻³ et surtout chez l'homme dans plusieurs cas rapportés de réanimation d'arrêts cardiocirculatoires ou de manifestations neurologiques ⁴⁻⁸. Actuellement, l'administration d'Intralipide® fait partie des recommandations de la réanimation de l'intoxication aux anesthésiques locaux ⁹. Trois mécanismes sont proposés pour expliquer l'effet des ELI. Le premier, qui semble prédominant, serait lié à une séquestration des molécules lipophiles dans le compartiment lipidique plasmatique formé par l'émulsion lipidique ainsi qu'à une redistribution des anesthésiques locaux dans les tissus adipeux. Ce mécanisme du « siphon lipidique » rendrait compte de la réduction de la fraction libre du toxique ^{1, 10}. Le second serait lié à un effet métabolique, favorisant le métabolisme oxydatif des cellules myocardiques par apport massif d'acides gras libres aux mitochondries ¹¹⁻¹⁴. Le troisième mécanisme serait lié à une activation directe ou indirecte des canaux ioniques permettant une augmentation du calcium intracellulaire ¹⁵⁻¹⁶.

Compte tenu de ces trois mécanismes, l'effet des ELI a été évalué dans les intoxications à d'autres molécules lipophiles et/ou interférant avec les canaux calciques. Des études expérimentales et des cas cliniques ont montré l'intérêt des ELI dans la réanimation des intoxications médicamenteuses avec les antidépresseurs tricycliques ¹⁷, certains neuroleptiques ¹⁸, le vérapamil ¹⁹, le propranolol ²⁰ et un herbicide (glyphosate) ²¹.

La digoxine est un médicament liposoluble ²² qui conserve son indication dans le traitement de la fibrillation auriculaire ²³ et de l'insuffisance cardiaque ²⁴. Son principal inconvénient tient à sa toxicité en cas de surdosage, responsable selon une récente étude de

1,94 hospitalisations par 1000 année-traitement ²⁵. La toxicité est caractérisée par des troubles de conduction puis des troubles du rythme graves menant au décès dans 7,5 à 20 % des cas ²⁶⁻²⁷. Cette toxicité a aussi été démontrée chez l'animal et notamment chez le rat ²⁸. Un traitement spécifique par fragments d'anticorps liant le récepteur (DigiFab®) existe, mais il est extrêmement coûteux et surtout réservé à certains centres spécialisés, posant le problème de la disponibilité immédiate ²⁹. Un traitement alternatif serait d'un apport notable notamment pour la prise en charge initiale précoce ou pré-hospitalière de ces intoxications ainsi que dans les pays émergents. Il n'existe à ce jour aucune donnée expérimentale ou clinique publiée évaluant l'efficacité d'un traitement par ELI dans l'intoxication aiguë aux digitaliques.

Le but de cette étude était donc d'évaluer chez le rat lors d'une intoxication à la digoxine, l'effet d'une perfusion d'intralipide® (IL) *versus* NaCl 0,9 % avec, comme critères de jugement principal, la durée de survie et la dose létale, et comme critères secondaires les paramètres hémodynamiques.

MATERIELS ET METHODE

Après accord du comité d'éthique du laboratoire de zootechnie de l'université François Rabelais de Tours (CEEA VdL, dossier n°2012-08-7), 20 rats mâles Wistar anciens reproducteurs ont été inclus. En cas de données aberrantes, de décès ou de modifications des constantes vitales au cours de la mise en place du monitorage, les rats étaient exclus. Le délai entre l'arrivée des rats et la procédure était au minimum de 7 jours, pendant lesquels ils bénéficiaient d'un hébergement enrichi conformément aux bonnes pratiques du laboratoire. Après sédation par inhalation d'un mélange de 4 % d'isoflurane et d'oxygène pendant 5 minutes, les rats étaient anesthésiés par une injection intrapéritonéale de pentobarbital sodique via un cathéter de 22 Gauge (bolus : 100 mg/kg ; entretien : 40 mg/kg/h) jusqu'à la fin de la procédure. La préparation chirurgicale s'effectuait sur une table chauffante pour un objectif de température rectale à 37°C. Un abord cervical chirurgical était réalisé permettant d'introduire une canule trachéale de 14 Gauge et de réaliser une ventilation contrôlée au moyen d'un respirateur Siemens Servo 300i. La fraction inspirée d'oxygène (FIO₂) était de 80 %, le volume courant de 7 ml/kg ajusté pour une pression partielle en dioxyde de carbone (PaCO₂) entre 30 et 45 mmHg et la fréquence respiratoire fixée à 80/min. Une carotide primitive préférentiellement à gauche était canulée par un cathéter de 24 Gauge pour mesurer en continu la pression artérielle sanglante et réaliser les prélèvements. Une veine Jugulaire préférentiellement droite était canulée par voie rétrograde au niveau du confluent jugulo-sousclavier également par un cathéter de 24 Gauge branché sur un dispositif anti-retour à 3 voies pour réaliser les injections. Un électrocardioscope à 3 pôles était mis en place via des aiguilles sous-cutanées pour mesurer la fréquence cardiaque (FC) dans la dérivation standard DII. Après la préparation chirurgicale, 15 minutes étaient allouées pour vérifier la stabilité des paramètres hémodynamiques et analyser les gaz du sang.

Tous les rats recevaient à partir du temps T0 une injection continue de digoxine 0,25 mg/ml au débit de 10 mg/kg/h tout le long de la procédure, arrêtée 10 secondes après le décès. Deux groupes étaient constitués par randomisation, selon le produit administré concomitamment à la digoxine à partir de T0 :

- Le groupe Digolip (n = 8) recevait une perfusion continue de 3ml/kg/min d'une émulsion lipidique à 20 % (Intralipide® 20 %, Fresenius-Kabi, France) pendant 5 minutes.
- Le groupe Digophy (n = 7) recevait 3 ml/kg/min de NaCl 0,9 % pendant 5 minutes.

Il est à noter que la dose et le débit de digoxine ont été déterminés lors d'une phase préliminaire qui avait pour objectif l'obtention d'une asystolie en 20 minutes dans le groupe contrôle.

Les paramètres colligés étaient : le poids des rats, les gaz du sang à la fin de la préparation chirurgicale, la température *via* une sonde thermique rectale, la fréquence cardiaque, le délai survenue de troubles du rythme graves, la pression artérielle sanglante en continu, la dose de digoxine injectée et la durée de survie après le début de la perfusion de digoxine.

Les critères de décès étaient: une fréquence ventriculaire inférieure à 50 / min ou une dissociation électromécanique.

Analyse statistique

L'analyse et le recueil des données étaient réalisés par les logiciels Excel®, Statview® et sur le site biostaTGV (http://marne.u707.jussieu.fr/biostatgv/ octobre 2012). Les résultats sont exprimés en médiane [extrêmes]. Pour les comparaisons, une courbe de Kaplan-Meier (Logrank test) pour la survie et un test de Kruskall-Wallis pour les autres paramètres ont été utilisés. Un p < 0.05 était retenu comme seuil de significativité.

RESULTATS

Vingt rats ont été inclus et 5 exclus (2 dans le groupe Digolip, 3 dans le groupe Digophy). Les motifs d'exclusion étaient : le décès entre l'induction anesthésique et la canulation trachéale (n=2), l'hémorragie pendant la mise en condition (n=1) et des données aberrantes (n=2). Les paramètres physiologiques initiaux à T0 étaient similaires dans les deux groupes (Tableau 1).

La durée de survie n'était pas significativement différente dans les deux groupes avec des durées médianes de survie de 18,0 min [11,3-21,8] dans le groupe Digolip *versus* 18,8 min [18,1-28,3] dans le groupe Digophy (p = 0,291) (Figure 1). Il en était de même pour les doses létales : de 3,00 mg/kg [1,88-3,63] dans le groupe Digolip *versus* 3,14 mg/kg [3,05-4,72] dans le groupe Digophy (p = 0,297) (Figure 2).

La pression artérielle moyenne à 10 minutes tendait à être plus élevée dans le groupe Digolip (Figure 2) mais de manière non significative; 131 mmHg [51 – 170] versus 88 mmHg [42 -150] (p = 0,183) (Figure 3).

Les fréquences cardiaques n'ont pu être enregistrées qu'en deçà de 250 battements par min, une fréquence supérieure ne pouvant être enregistrée par notre moniteur (Figure 4).

L'asystolie était précédée de troubles du rythme ventriculaire (Tachycardie ventriculaire (TV) ou fibrillation ventriculaire (FV) non soutenues) chez 5 rats sur 8 dans le groupe Digolip, 4 sur 7 dans le groupe Digophy. Chez ces rats, le délai moyen entre la survenue du premier épisode de trouble du rythme ventriculaire et le décès était de 2,8 min [1,5 – 5] dans le groupe Digolip et 3,6 min [2,5 – 5] dans le groupe Digophy.

Tableau 1. Données physiologiques des rats dans les deux groupes après préparation chirurgicale et avant administration de digoxine. Poids, Fréquence cardiaque (FC), pression artérielle moyenne (PAM), Température rectale (Temp), pression partielle en oxygène (PaO₂), pression partielle en dioxyde de carbone (PaCO₂) exprimées en médiane [extrêmes].

	Groupe Digolip (n = 8)		Groupe Digophy (n = 7)		p
Poids (gr)	700	[570 - 810]	650	[560 - 710]	0,131
FC T0 (batt/min)	>250		>250		1
PAM T0 (mmHg)	163	[127 - 187]	169	[159 - 180]	0,45
Temp T0 (°C)	36,7	[35,7 - 38,0]	36,7	[36,0 - 37,2]	0,817
pН	7,44	[7,34 - 7,51]	7,43	[7,38 - 7,49]	0,643
$PaCO_2$ (mmHg)	32	[25 - 38]	33	[29 - 37]	0,685
PaO_2 (mmHg)	270	[207 - 362]	319	[245 - 396]	0,199
HCO ₃ (mmol/L)	22,6	[16,3 - 24,4]	21,9	[18,4 - 24,6]	0,643
Hb (gr/dL)	15,2	[12,2 - 16,5]	14	[13,6 - 15,2]	0,744

Figure 1. Courbe de Kaplan-Meier montrant la durée de survie après le début d'administration de digoxine à 10 mg/kg/h dans les groupes Digolip (n = 8) et Digophy (n = 7).

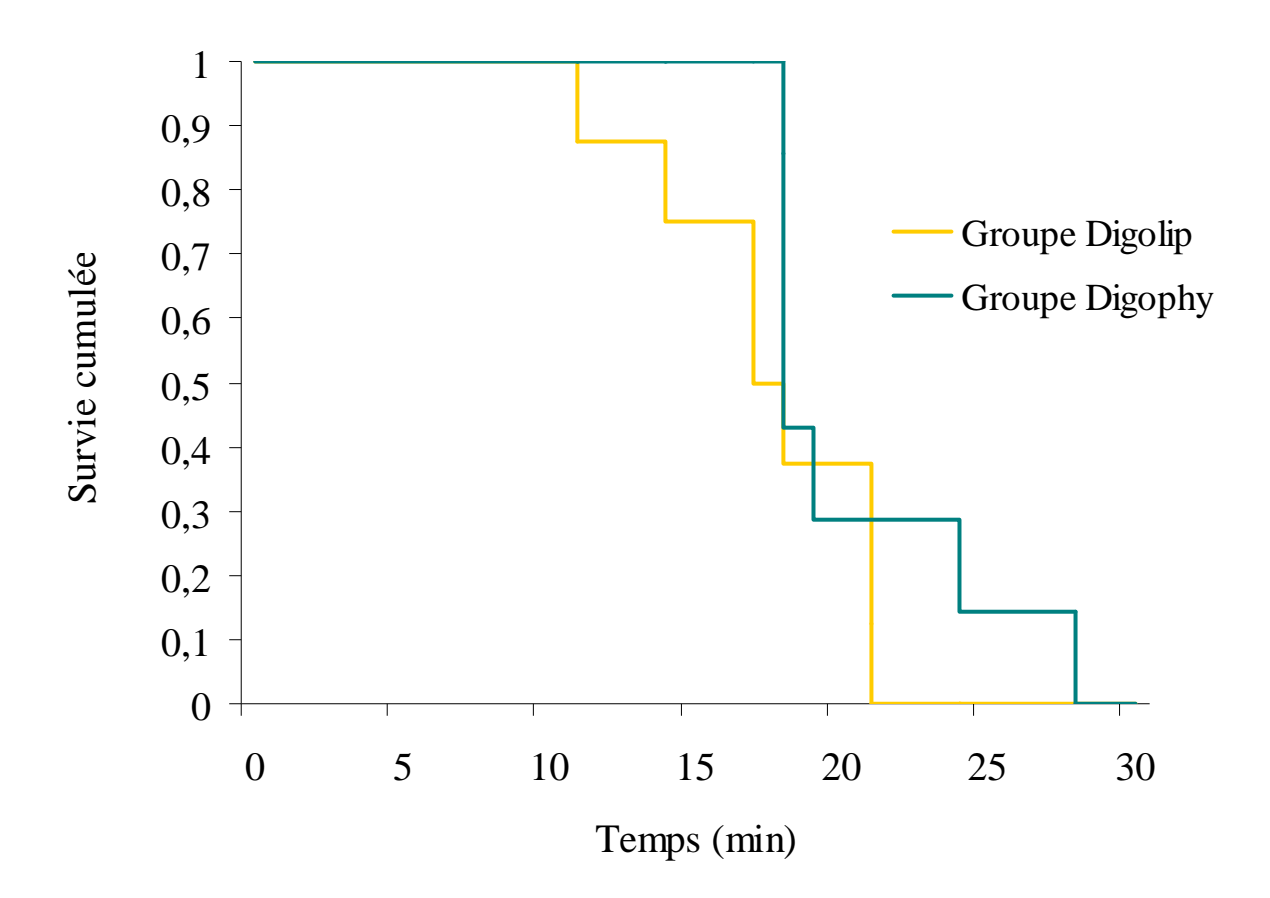


Figure 2. Doses létales de digoxine dans les groupes Digolip (n = 8) et Digophy (n = 7) représentées en médianes, quartiles et extrêmes.

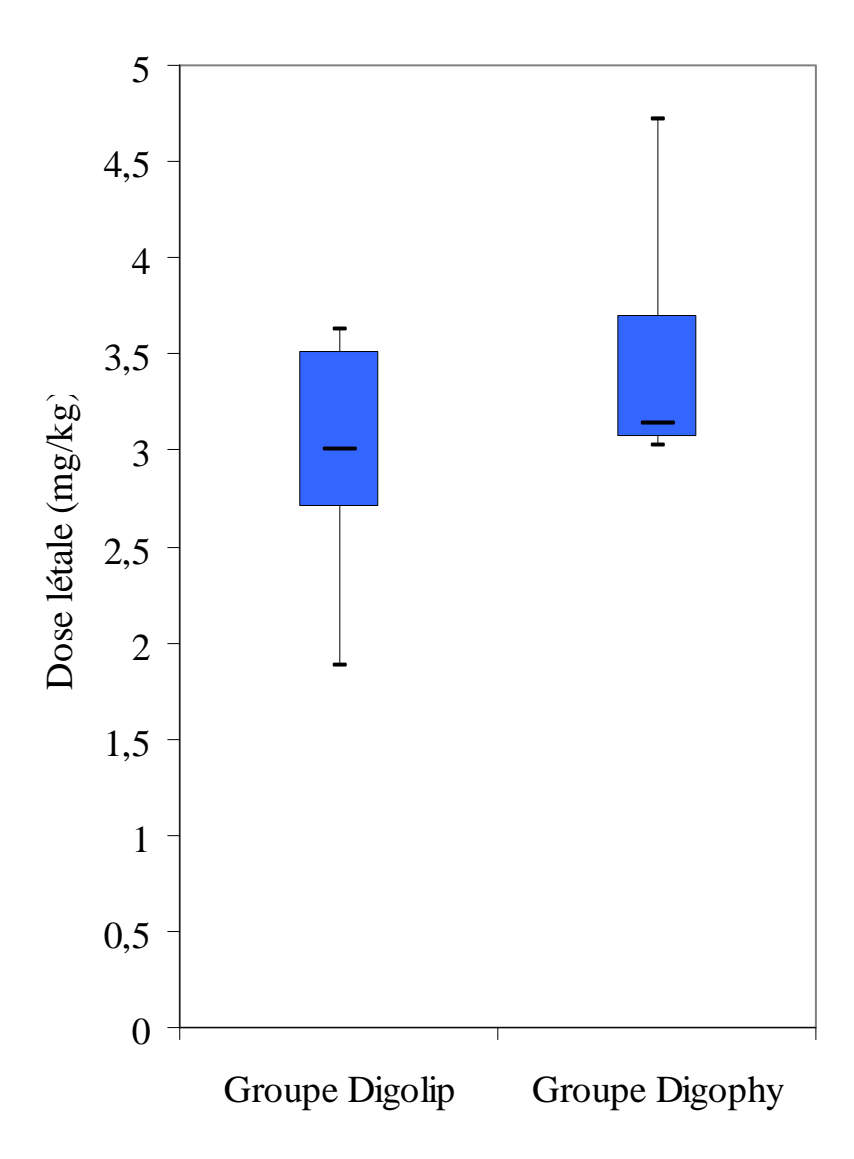


Figure 3. Évolution de la PAM moyenne en fonction du temps après administration intraveineuse de digoxine dans le groupes Digolip (n = 8) et Digophy (n = 7).

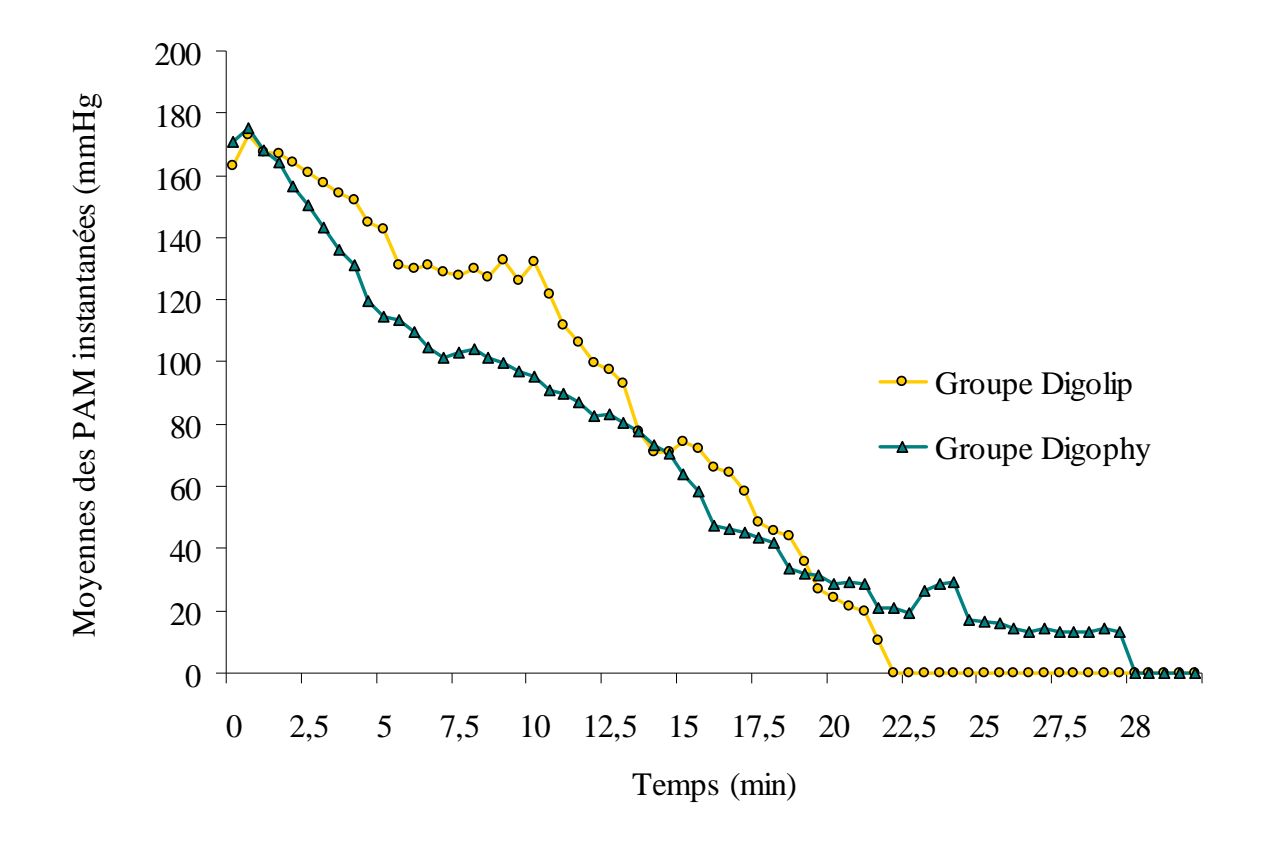
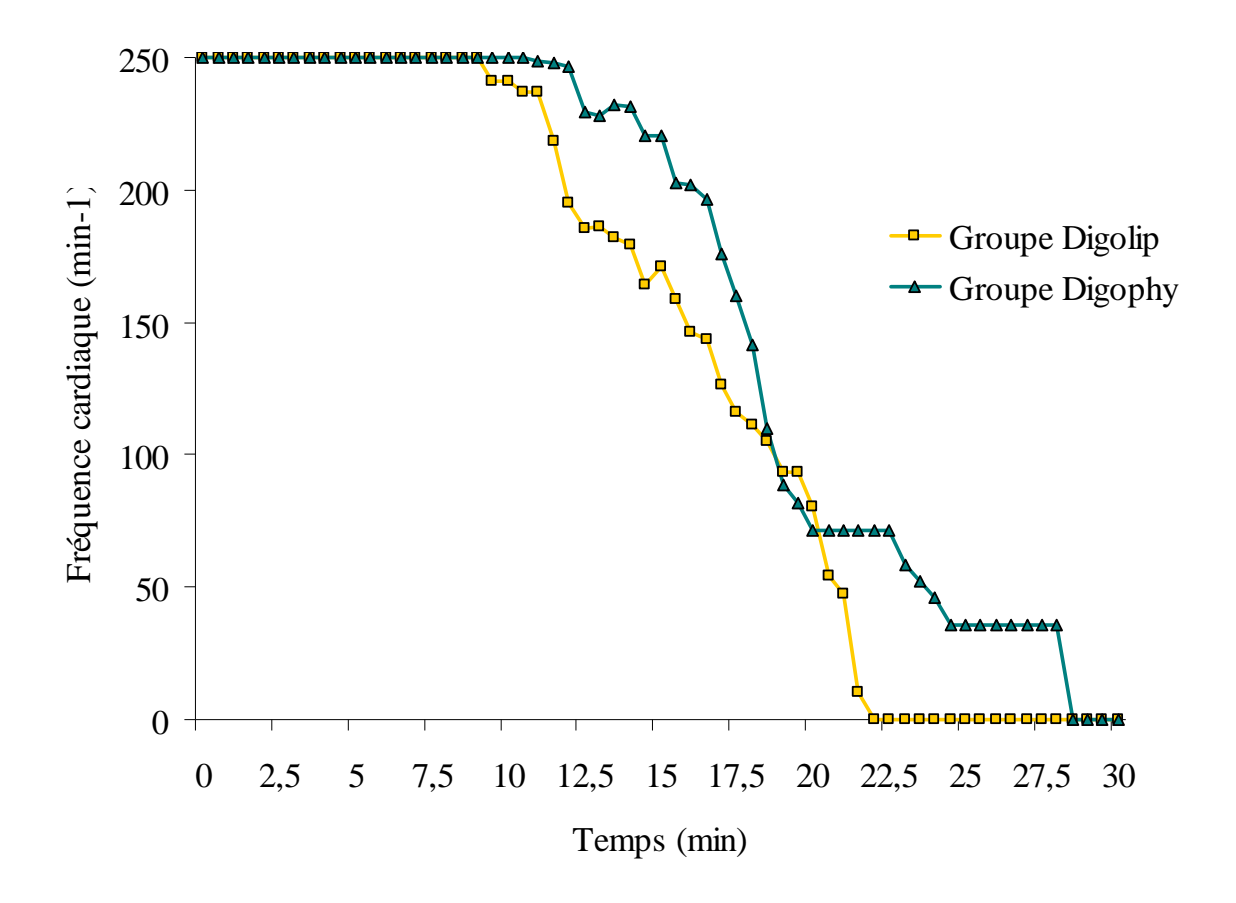


Figure 4. Évolution de la fréquence cardiaque moyenne en fonction du temps après administration intraveineuse de digoxine dans le groupes Digolip (n = 8) et Digophy (n = 7)



DISCUSSION

Dans ce modèle d'intoxication à la digoxine chez le rat, notre étude montre que l'administration d'Intralipide® ne modifie pas la dose létale de digoxine. Cela suggère que l'effet dit « de siphon lipidique » par l'Intralipide® ne s'exerce pas sur la digoxine.

Dans notre modèle, le penthotal a été préféré à la kétamine habituellement utilisée dans des modèles similaires d'intoxication chez le rat ³⁰⁻³³. Le choix du pentothal sodique est lié à sa liposolubilité, cinq fois moindre que celle de la kétamine ³⁴, pour minimiser une interaction potentielle avec l'ELI pouvant être à l'origine d'un allègement de l'anesthésie par captation de la kétamine dans les gouttelettes lipidiques. Les volumes des bolus administrés (15 mL) correspondaient à environ 30 % de la volémie du rat et représentaient, par conséquent un remplissage important. Ces volumes sont cependant du même ordre de grandeur que ceux utilisés dans plusieurs protocoles chez le rat visant à évaluer les ELI lors d'intoxications ³²⁻³³. Pour la solution d'Intralipide® à 20 %, il était montré chez le rat que l'administration d'un bolus de 18,6 ml/kg n'entraînait pas de modification des paramètres d'oxygénation (PaO₂, pression alvéolaire en O₂, gradient artériolo-alvéolaire) par rapport à un même bolus de NaCl 0.9 % 33. Chez le rat, la dose létale 50 d'ELI 20 % a été estimée à 67,72 mL/kg \pm 10,69 35, bien au-delà des doses habituellement utilisées dans les protocoles expérimentaux dont notre étude, ou en thérapeutique. Le choix du volume et de la vitesse d'administration du bolus d'Intralipide® (15ml/kg sur 5 min) correspond à celui de Weinberg et al. dans son étude princeps montrant l'efficacité de l'Intralipide dans l'intoxication à la bupivacaïne ¹, les autres études chez le rat utilisent un protocole comparable variant de 12,5 mL/kg en 5 min 32 à 18,6 ml/kg sur 7,5 min ³³. A titre de comparaison chez l'homme, la société française d'anesthésie réanimation (SFAR) recommande l'administration d'un bolus de 3 mL/kg en cas de signes d'intoxication aux anesthésiques locaux ⁹.

Le choix de la vitesse d'administration et de la dose de digoxine était basé sur un travail expérimental chez le rat évaluant l'effet cardio-protecteur d'une injection de glucose-insuline au cours de l'intoxication aigue à la digoxine ²⁸. Nous avons vérifié le délai de létalité dans un groupe témoin au cours d'une phase préliminaire, celui-ci se situait entre 15 et 20 minutes conformément aux résultats des auteurs suscités.

L'administration d'Intralipide® ne modifie pas la durée de survie des rats dans notre étude. Le mécanisme dit du « siphon lipidique » sur lequel était basé notre hypothèse, consiste en une séquestration du toxique dans les microgouttelettes lipidique, abaissant sa concentration sous forme libre dans le sérum, et par conséquent ses effets. Dans l'intoxication à la bupivacaïne, Weinberg montrait ainsi que dans les échantillons sanguins prélevés à l'asystolie et traités par ultracentrifugation, la concentration en bupivacaïne de la phase lipidique était 21 fois plus élevée que dans la phase aqueuse 36. Cet essai a été confirmé in vitro, par la diminution de la concentration dans la phase aqueuse lors de l'adjonction de 2 % d'Intralipide® dans un mélange plasma + toxique pour 11 médicaments associés à un succès de la réanimation lors d'intoxications ³⁷. Un bénéfice du traitement par ELI a été montré pour les intoxications aux molécules à forte liposolubilité définie par le coefficient de partage octanol/eau exprimé par un log P > 2, comme la bupivacaïne (log P = 3.6), le vérapamil ³⁹ (log P = 4,7), le propranolol 40 (log P = 3,0), et la clomipramine 30 (log P = 4,5) 38 . La digoxine, bien que 16,6 fois plus diffusible dans l'octanol que dans l'eau ²² reste beaucoup moins liposoluble ($\log P = 2.2$) ³⁸ que les anesthésiques locaux de longue durée d'action. Cette moindre liposolubilité pourrait expliquer l'absence d'efficacité des ELI dans notre modèle. Il serait intéressant de mesurer in vitro, ou sur échantillon sanguin sur un modèle d'intoxication, la concentration respective de digoxine dans la phase aqueuse et la phase lipidique.

Le mécanisme du siphon lipidique n'est cependant pas le seul mis en avant pour expliquer l'efficacité des ELI. Dans notre étude, les ELI semblent avoir un effet bénéfique même si non significatif sur la pression artérielle moyenne dans les minutes qui suivent le bolus d'Intralipide®. En conditions normales, les acides gras libres représentent le substrat énergétique préférentiel du myocarde. Il semble probable qu'en conditions de stress oxydatif, un apport massif d'acides gras libres puisse réorienter vers un métabolisme oxydatif et améliorer le travail myocardique. En ce sens, dans un modèle de réanimation d'arrêt cardiaque par bupivacaïne, Partownavid et al. ont montré qu'en présence d'un inhibiteur mitochondrial de l'oxydation des acides gras, les ELI perdaient leur efficacité ⁴¹. La toxicité de la digoxine sur le myocyte s'exerce par le blocage de la pompe Na+/K+ATPase membranaire, avec pour conséquence une augmentation intracellulaire du sodium puis du calcium par l'échangeur Na+/Ca2+, jusqu'à des concentrations cytotoxiques 42. Loin d'antagoniser ce mécanisme, les ELI tendent à accroître la concentration intracellulaire de calcium par activation directe ou indirecte des canaux calciques ¹⁵⁻¹⁶. Ce mécanisme témoigne en partie de l'efficacité des ELI dans les intoxications au vérapamil et autres molécules à effet stabilisant de membrane. Il nous semble possible qu'une augmentation du calcium intracellulaire induite par l'administration d'ELI puisse accroître la toxicité de la digoxine, effaçant ainsi le bénéfice de l'effet « siphon lipidique ».

Dans notre modèle, le décès survient entre 11 et 28 minutes, suggérant une hétérogénéité dans la réponse à l'intoxication aiguë à la digoxine. Cette hétérogénéité était aussi retrouvée dans un modèle d'intoxication à la digoxine à posologie identique, le délai de survie était compris entre 7 et 36 min (n = 10) ²⁸. Une explication avancée ²⁸ tient à l'existence d'un polymorphisme génétique de l'expression des enzymes impliquées dans le métabolisme de la

digoxine. Cependant, si ce polymorphisme existe chez l'homme ⁴³, il n'a pas été mis en évidence chez le rat.

Plusieurs limites dans notre travail peuvent être citées. Cette étude n'a pas été réalisée en aveugle quant aux produits administrés (NaCl 0,9 %, Intralipide®) en raison de leur présentation galénique. Néanmoins, ceci n'a pas dû avoir d'effet sur notre résultat compte tenu de notre critère de jugement principal: la durée de survie. L'effectif utilisé était faible (n < 10). Toutefois, les études portant sur l'intérêt des ELI avaient un effectif comparable. Weinberg, dans son étude princeps a utilisé 6 rats dans chaque groupe, ce nombre était suffisant pour mettre en évidence une différence significative de dose létale. Le choix du pentobarbital sodique, s'il nous semble plus judicieux que la kétamine est aussi une molécule lipophile potentiellement captée par les ELI. Deux études montrent un allègement de l'anesthésie aux barbituriques par l'administration d'ELI. Ces ELI raccourcissaient la durée d'anesthésie d'un bolus unique ⁴⁴, ou augmentaient la fréquence respiratoire ⁴⁵. Ces observations peuvent en partie expliquer la tendance à l'augmentation de la pression artérielle moyenne observée dans notre étude dans le groupe ayant reçu l'Intralipide®.

CONCLUSION

Notre étude montre que l'administration d'Intralipide® n'allonge pas le délai de survie des rats lors d'une intoxication aiguë à la digoxine. Ainsi, l'administration d'ELI ne peut être un traitement recommandé lors d'une intoxication aiguë à la digoxine.

REFERENCES

- 1. Weinberg, G. L., VadeBoncouer, T., Ramaraju, G. A., Garcia-Amaro, M. F. & Cwik, M. J. Pretreatment or resuscitation with a lipid infusion shifts the dose-response to bupivacaine-induced asystole in rats. *Anesthesiology* **88**, 1071–1075 (1998).
- 2. Cave, G., Harvey, M. G. & Winterbottom, T. Evaluation of the Association of Anaesthetists of Great Britain and Ireland lipid infusion protocol in bupivacaine induced cardiac arrest in rabbits. *Anaesthesia* **64**, 732–737 (2009).
- 3. Di Gregorio, G. *et al.* Lipid emulsion is superior to vasopressin in a rodent model of resuscitation from toxin-induced cardiac arrest. *Crit. Care Med.* **37**, 993–999 (2009).
- 4. Rosenblatt, M. A., Abel, M., Fischer, G. W., Itzkovich, C. J. & Eisenkraft, J. B. Successful use of a 20% lipid emulsion to resuscitate a patient after a presumed bupivacaine-related cardiac arrest. *Anesthesiology* **105**, 217–218 (2006).
- 5. Warren, J. A., Thoma, R. B., Georgescu, A. & Shah, S. J. Intravenous lipid infusion in the successful resuscitation of local anesthetic-induced cardiovascular collapse after supraclavicular brachial plexus block. *Anesth. Analg.* **106**, 1578–1580, table of contents (2008).
- 6. Foxall, G., McCahon, R., Lamb, J., Hardman, J. G. & Bedforth, N. M. Levobupivacaine-induced seizures and cardiovascular collapse treated with Intralipid. *Anaesthesia* **62**, 516–518 (2007).
- 7. Spence, A. G. Lipid reversal of central nervous system symptoms of bupivacaine toxicity. *Anesthesiology* **107**, 516–517 (2007).
- 8. Litz, R. J., Popp, M., Stehr, S. N. & Koch, T. Successful resuscitation of a patient with ropivacaine-induced asystole after axillary plexus block using lipid infusion. *Anaesthesia* **61**, 800–801 (2006).
- 9. SFAR Toxicité systémique aigue des anesthésiques locaux. (2010).at http://www.sfar.org/article/340/toxicite-systemique-aigue-des-anesthesiques-locaux
- 10. Weinberg, G. L. *et al.* Lipid infusion accelerates removal of bupivacaine and recovery from bupivacaine toxicity in the isolated rat heart. *Reg Anesth Pain Med* **31**, 296–303 (2006).
- 11. Eledjam, J. J. *et al.* In vitro study on mechanisms of bupivacaine-induced depression of myocardial contractility. *Anesth. Analg.* **69**, 732–735 (1989).
- 12. Nouette-Gaulain, K., Quinart, A., Letellier, T. & Sztark, F. [Mitochondria in anaesthesia and intensive care]. *Ann Fr Anesth Reanim* **26**, 319–333 (2007).

- 13. Sztark, F., Tueux, O., Erny, P., Dabadie, P. & Mazat, J. P. Effects of bupivacaine on cellular oxygen consumption and adenine nucleotide metabolism. *Anesth. Analg.* **78**, 335–339 (1994).
- 14. Van de Velde, M. *et al.* Long-chain triglycerides improve recovery from myocardial stunning in conscious dogs. *Cardiovasc. Res.* **32**, 1008–1015 (1996).
- 15. Huang, J. M., Xian, H. & Bacaner, M. Long-chain fatty acids activate calcium channels in ventricular myocytes. *Proc. Natl. Acad. Sci. U.S.A.* **89**, 6452–6456 (1992).
- 16. Mottram, A. R., Valdivia, C. R. & Makielski, J. C. Fatty acids antagonize bupivacaine-induced I(Na) blockade. *Clin Toxicol (Phila)* **49**, 729–733 (2011).
- 17. Kiberd, M. B. & Minor, S. F. Lipid therapy for the treatment of a refractory amitriptyline overdose. *CJEM* **14**, 193–197 (2012).
- 18. Weinberg, G., Di Gregorio, G., Hiller, D., Hewett, A. & Sirianni, A. Reversal of haloperidol-induced cardiac arrest by using lipid emulsion. *Ann. Intern. Med.* **150**, 737–738 (2009).
- 19. Young, A. C., Velez, L. I. & Kleinschmidt, K. C. Intravenous fat emulsion therapy for intentional sustained-release verapamil overdose. *Resuscitation* **80**, 591–593 (2009).
- 20. Jovic-Stosic, J., Gligic, B., Putic, V., Brajkovic, G. & Spasic, R. Severe propranolol and ethanol overdose with wide complex tachycardia treated with intravenous lipid emulsion: a case report. *Clin Toxicol (Phila)* **49**, 426–430 (2011).
- 21. Han, S. K., Jeong, J., Yeom, S., Ryu, J. & Park, S. Use of a lipid emulsion in a patient with refractory hypotension caused by glyphosate-surfactant herbicide. *Clin Toxicol* (*Phila*) **48**, 566–568 (2010).
- 22. Hinderling, P. H. Kinetics of partitioning and binding of digoxin and its analogues in the subcompartments of blood. *J Pharm Sci* **73**, 1042–1053 (1984).
- 23. Fuster, V. *et al.* 2011 ACCF/AHA/HRS focused updates incorporated into the ACC/AHA/ESC 2006 guidelines for the management of patients with atrial fibrillation: a report of the American College of Cardiology Foundation/American Heart Association Task Force on practice guidelines. *Circulation* **123**, e269–367 (2011).
- 24. Hunt, S. A. *et al.* 2009 Focused Update Incorporated Into the ACC/AHA 2005 Guidelines for the Diagnosis and Management of Heart Failure in Adults A Report of the American College of Cardiology Foundation/American Heart Association Task Force on Practice Guidelines: Developed in Collaboration With the International Society for Heart and Lung Transplantation. *Circulation* 119, e391–e479 (2009).
- 25. Aarnoudse, A. L. H. J., Dieleman, J. P. & Stricker, B. H. C. Age- and gender-specific incidence of hospitalisation for digoxin intoxication. *Drug Saf* **30**, 431–436 (2007).

- 26. Bismuth, C., Motte, G., Conso, F., Chauvin, M. & Gaultier, M. Acute digitoxin intoxication treated by intracardiac pacemaker: experience in sixty-eight patients. *Clin. Toxicol.* **10**, 443–456 (1977).
- 27. Lapostolle, F. Le traitement antidotique précoce des surdosages digitaliques: un projet et un devoir républicain. (2010). at <www.sfmu.org/urgences2010/donnees/pdf/021_lapostolle.pdf>
- 28. Oubaassine, R. *et al.* Cardio protective effect of glucose-insulin infusion on acute digoxin toxicity in rat. *Toxicology* **224**, 238–243 (2006).
- 29. Lapostolle, F. *et al.* [Availability of antidotes in French emergency medical aid units]. *Presse Med* **30**, 159–162 (2001).
- 30. Harvey, M. & Cave, G. Intralipid outperforms sodium bicarbonate in a rabbit model of clomipramine toxicity. *Ann Emerg Med* **49**, 178–185, 185.e1–4 (2007).
- 31. Harvey, M., Cave, G. & Hoggett, K. Correlation of plasma and peritoneal diasylate clomipramine concentration with hemodynamic recovery after intralipid infusion in rabbits. *Acad Emerg Med* **16**, 151–156 (2009).
- 32. Tebbutt, S., Harvey, M., Nicholson, T. & Cave, G. Intralipid prolongs survival in a rat model of verapamil toxicity. *Acad Emerg Med* **13**, 134–139 (2006).
- 33. Perez, E., Bania, T. C., Medlej, K. & Chu, J. Determining the optimal dose of intravenous fat emulsion for the treatment of severe verapamil toxicity in a rodent model. *Acad Emerg Med* **15**, 1284–1289 (2008).
- 34. B., R. Kétamine. Pharmacologie en anesthésiologie 329-333
- 35. Hiller D.B, Di Gregorio G, Kelly K. Safety of high volume lipid emulsion infusion: a first approximation of LD50 in rats. *Reg Anesth Pain Med* **35**, 140-4 (2010).
- 36. Weinberg, G. *et al.* Partitioning effect in lipid resuscitation: further evidence for the lipid sink. *Crit. Care Med.* **38**, 2268–2269 (2010).
- 37. French, D. *et al.* Partition constant and volume of distribution as predictors of clinical efficacy of lipid rescue for toxicological emergencies. *Clin Toxicol (Phila)* **49**, 801–809 (2011).
- 38. Drugbank. (2012).at http://www.drugbank.ca/
- 39. Bania, T. C., Chu, J., Perez, E., Su, M. & Hahn, I.-H. Hemodynamic effects of intravenous fat emulsion in an animal model of severe verapamil toxicity resuscitated with atropine, calcium, and saline. *Acad Emerg Med* **14**, 105–111 (2007).
- 40. Harvey, M. G. & Cave, G. R. Intralipid infusion ameliorates propranolol-induced hypotension in rabbits. *J Med Toxicol* **4**, 71–76 (2008).

- 41. Partownavid, P., Umar, S., Li, J., Rahman, S. & Eghbali, M. Fatty-acid oxidation and calcium homeostasis are involved in the rescue of bupivacaine-induced cardiotoxicity by lipid emulsion in rats. *Crit. Care Med.* **40**, 2431–2437 (2012).
- 42. Arispe, N., Diaz, J. C., Simakova, O. & Pollard, H. B. Heart failure drug digitoxin induces calcium uptake into cells by forming transmembrane calcium channels. *Proc. Natl. Acad. Sci. U.S.A.* **105**, 2610–2615 (2008).
- 43. Verstuyft, C. *et al.* Digoxin pharmacokinetics and MDR1 genetic polymorphisms. *Eur. J. Clin. Pharmacol.* **58**, 809–812 (2003).
- 44. Russell, R. L. & Westfall, B. A. Alleviation of barbiturate depression. *Anesth. Analg.* **41**, 582–585 (1962).
- 45. Cave, G., Harvey, M. G. & Castle, C. D. Intralipid ameliorates thiopentone induced respiratory depression in rats: investigative pilot study. *Emerg Med Australas* **17**, 180–181 (2005).

SERMENT D'HIPPOCRATE

En présence des Maîtres de cette Faculté, de mes chers condisciples et selon la tradition d'Hippocrate, je promets et je jure d'être fidèle aux lois de l'honneur et de la probité dans l'exercice de la Médecine.

Je donnerai mes soins gratuits à l'indigent, et n'exigerai jamais un salaire au-dessus de mon travail.

Admis dans l'intérieur des maisons, mes yeux ne verront pas ce qui s'y passe, ma langue taira les secrets qui me seront confiés et mon état ne servira pas à corrompre les mœurs ni à favoriser le crime.

Respectueux et reconnaissant envers mes Maîtres, je rendrai à leurs enfants l'instruction que j'ai reçue de leurs pères.

Que les hommes m'accordent leur estime si je suis fidèle à mes promesses. Que je sois couvert d'opprobre et méprisé de mes confrères si j'y manque.